

Psolidale ad un anello di centro C e raggio R.

$\bar{CP} = R$, C è asse z; anello piano
massa anello = M massa $P = m$

$P_x \in$ asse \cancel{x} $P_y \perp$ asse x

carica elettrica in $P = q > 0$.

campo elettrico $E \parallel$ asse x .

costante molla tra P e $P_x = k$.

1. Lagrangiana ed equazioni di Lagrange

Scegliamo, come coordinate Lagrangiane la coppia (z, θ) , dove z è la quota verticale dell'anello (e, quindi, anche del punto P), mentre θ è l'angolo formato dalla semiretta uscente da C e passante per P con il piano Oxz .

Coordinate di P : $(R \cos \theta, R \sin \theta, z)$

" di P_x : $(R \cos \theta, 0, 0)$

" di C : $(0, 0, z)$

Possiamo esprimere l'energia cinetica nel modo seguente: $T = \frac{1}{2} I \dot{\theta}^2 + \frac{1}{2} M \dot{z}^2 + \frac{1}{2} m \underline{v}_P \cdot \underline{v}_P$,

dove I è l'inerzia dell'anello rispetto alle rotazioni attorno all'asse z , mentre il termine $\frac{1}{2} M \dot{z}^2$ è l'energia ^{potenziale} cinetica

al moto del baricentro (che è evidentemente, [pag. 2]
 il punto C di coordinate $(0, 0, z)$) dell'anello.
 Il calcolo del momento d'inerzia ^{dell'anello} rispetto all'asse
 z è sostanzialmente banale:

$$I = \frac{1}{2} \int_0^{2\pi} R_0^4 M \cdot (R^2 \cos^2 \theta + R^2 \sin^2 \theta) d\theta = \frac{1}{2} M \cdot R^3 \cdot 2\pi = \frac{1}{2} MR^2$$

dove abbiamo utilizzato il fatto che la densità
 di massa (sospesa) dell'anello è uguale a

$$\rho = \frac{M}{2\pi R}$$

Siccome $\underline{v}_p = (R\dot{\theta} \sin \theta, R\dot{\theta} \cos \theta, \dot{z})$, allora

$$\frac{1}{2} m \underline{v}_p \cdot \underline{v}_p = \frac{1}{2} m R^2 \dot{\theta}^2 + \frac{1}{2} m \dot{z}^2$$

pertanto, $T = \frac{1}{2} (M+m) \dot{z}^2 + \frac{1}{2} (M+m) R^2 \dot{\theta}^2$

L'energia potenziale può essere espressa come segue:

$$U = Mg z_c + mg z_p + \frac{1}{2} k \overline{P}^2 + U_{el}$$

dove l'energia potenziale dovuta alla presenza delle
 carica e del campo elettrico è tale che

$$-\text{grad } U_{el} = (qE_x, 0, 0) \rightarrow U_{el} = -qEx_p$$

In termini delle coordinate le precedenti abbiamo
 quindi che $U_{el} = -qER \cos \theta$

Inoltre, possiamo scrivere

$$\frac{1}{2}k\overline{pp}_*^2 = \frac{1}{2}k(R^2\sin^2\theta + z^2)$$

pag. 3

In definitiva, abbiamo che

$$U = (M+m)gz + \frac{1}{2}kz^2 - qER\cos\theta + \frac{1}{2}kR^2\sin^2\theta$$

la lagrangiana è quindi ~~dato~~ tale che

$$\begin{aligned} L = L(z, \dot{z}, \dot{\theta}, \ddot{\theta}) = & \frac{1}{2}(M+m)\dot{z}^2 + \frac{1}{2}(M+m)R^2\dot{\theta}^2 - (M+m)gz \\ & - \frac{1}{2}kz^2 + qER\cos\theta - \frac{1}{2}kR^2\sin^2\theta \end{aligned}$$

le eq. di lagrange sono le seguenti:

$$\left\{ \begin{array}{l} \frac{d}{dt} \frac{\partial L}{\partial \dot{z}} - \frac{\partial L}{\partial z} = (M+m)\ddot{z} + (M+m)g + kz = 0 \end{array} \right.$$

$$\left\{ \begin{array}{l} \frac{d}{dt} \frac{\partial L}{\partial \dot{\theta}} - \frac{\partial L}{\partial \theta} = (M+m)R^2\ddot{\theta} + qER\sin\theta + kR^2\sin\theta\cos\theta = 0 \end{array} \right.$$

Si osservi che le eq. di lagrange sono separabili, cioè la prima non contiene alcuna dipendenza da $\theta = \theta(t)$ e la seconda è indipendente da $z = z(t)$.

2. Studio dei p.ti di equilibrio e della loro stabilità

Come al solito dobbiamo risolvere il seguente sistema:

$$\left\{ \begin{array}{l} \frac{\partial U}{\partial z} = kz + (M+m)g = 0 \end{array} \right.$$

$$\left\{ \begin{array}{l} \frac{\partial U}{\partial \theta} = qER\sin\theta + kR^2\sin\theta\cos\theta = 0 \end{array} \right.$$

la prima equazione, evidentemente, ha come unica soluzione

$$z = \alpha - \frac{(H+m)g}{k}, \text{ D'ora in avanti sia } \alpha := -\frac{H+m}{k} g$$

Per quanto riguarda la seconda soluzione, possiamo procedere come segue:

$$R \sin \theta (qE + kR \cos \theta) = 0$$

$$\Rightarrow \sin \theta = 0 \quad \text{oppure} \quad kR \cos \theta = -qE$$

$$\Downarrow \\ \theta = 0, \pi$$

$$\theta = \pm \beta \text{ dove } \beta := \arctan \left(\frac{qE}{kR} \right)$$

$$\text{perché } \frac{qE}{kR} \leq 1.$$

Riassumendo, i punti di equilibrio sono

$$(z, \theta) \in \{(\alpha, 0), (\alpha, \pi), (\alpha, \pm \beta)\}$$

dove l'ultima coppia di p.ti di equilibrio è sse

$$\frac{qE}{kR} \leq 1.$$

Al fine di studiare la stabilità dei p.ti di equilibrio calcoliamo

$$\text{Hess } U = \begin{pmatrix} k & 0 \\ 0 & qE R \cos \theta + 2kR^2 \cos^2 \theta - kR^2 \end{pmatrix}$$

Consideriamo ora i vari casi particolari.

Caso $(z, \vartheta) = (d, 0)$

[pag. 5]

$$\text{Hess } U \Big|_{\begin{array}{l} z=d \\ \vartheta=0 \end{array}} = \begin{pmatrix} k & 0 \\ 0 & q\varepsilon R + kR^2 \end{pmatrix}$$

I due autovetori della matrice sono evidentemente i valori che comparecono sulla diagonale principale, quindi abbiamo 2 autovel.

sempre positivi $\Rightarrow (d, 0)$ è un p.t.o di equilibrio STABILE.

Caso $(z, \vartheta) = (d, \pi)$

$$\text{Hess } U \Big|_{\begin{array}{l} z=d \\ \vartheta=\pi \end{array}} = \begin{pmatrix} k & 0 \\ 0 & -q\varepsilon R + kR^2 \end{pmatrix}$$

Se $\frac{q\varepsilon}{kR} > 1 \Rightarrow$ 1 autovel. pos. e 1 neg. \Rightarrow INSTABILE

Se $\frac{q\varepsilon}{kR} = 1 \Rightarrow$ 1 autovel. pos. e 1 nullo \Rightarrow caso indeciso

Se $\frac{q\varepsilon}{kR} < 1 \Rightarrow$ 2 autovel. pos. \Rightarrow p.t.o di eq. STABILE.

Occorrerà quindi un supplemento di indagine per il caso $\frac{q\varepsilon}{kR} = 1$.

Caso $(z, \vartheta) = (d, \pm \beta)$

$$\text{Hess } U \Big|_{\begin{array}{l} z=d \\ \vartheta=\pm\beta \end{array}} = \begin{pmatrix} k & 0 \\ 0 & q\varepsilon R \left(-\frac{q\varepsilon}{kR} \right) + 2kR \frac{\frac{q^2\varepsilon^2}{k^2R^2} - kR^2}{kR} \end{pmatrix} = \begin{pmatrix} k & 0 \\ 0 & \frac{q^2\varepsilon^2 - kR^2}{k} \end{pmatrix}$$

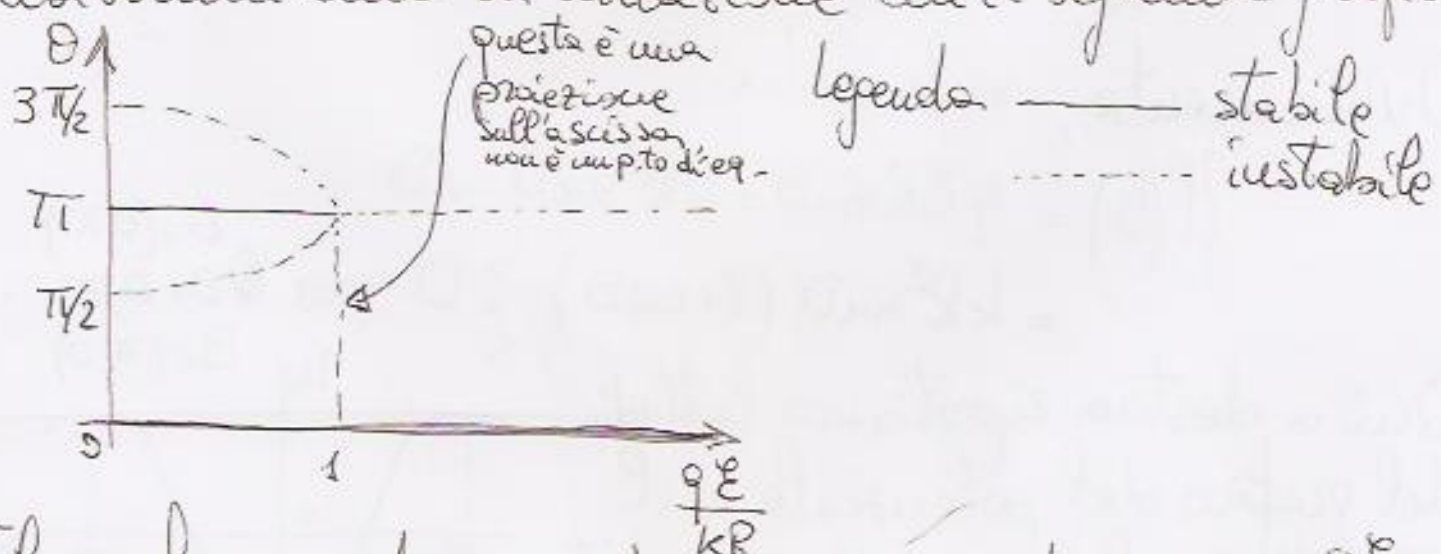
Se $\frac{qE}{kR} > 1 \Rightarrow$ i p.ti di equilibrio $(d, \pm\beta)$ s.p. 6

Se $\frac{qE}{kR} = 1 \Rightarrow$ l'autoval. pos. e l'nullo, quindi è necessario un supplemento di informazioni.

Se $\frac{qE}{kR} < 1 \Rightarrow$ l'autoval. pos. e l'neg.
 $\Rightarrow (d, \pm\beta)$ sono p.ti di equilibrio INSTABILI.

Rimane da decidere la stabilità dei p.ti di equilibrio $(d, \bar{\pi})$, $(d, \pm\beta)$ quando $\frac{qE}{kR} = 1$. Osserviamo che, se $\frac{qE}{kR} = 1$, allora $\beta = \arccos\left(-\frac{qE}{kR}\right) = \pi$; quindi, quando $\frac{qE}{kR} = 1$, $(d, \pm\beta)$ coincide con $(d, \bar{\pi})$.

Riassumiamo la situazione con il seguente grafico:



Il grafico evidenzia che in corrispondenza di $\frac{qE}{kR} = 1$ si verifica la biforcazione di un p.ti di equilibrio instabile, questo induce a pensare che $(d, \bar{\pi})$ sia instabile nel caso

inediciso qE = 1.
 κR

pag. 7

Ci proponiamo ora di provare rigorosamente tale congettura: A questo scopo, dobbiamo trovare delle soluzioni che $\exists \varepsilon > 0$ t.c. esista un $\delta > 0$ \exists una cond. iniz. nella bolla $B_\delta(d, \pi)$ tale che il suo evoluto esce da $B_\varepsilon(d, \pi)$ a qualche istante di tempo $t > 0$.

Osserviamo che \exists soluzione del tipo $z(t) = d + \theta(t)$ determinato dalla sola 2^a eq. di Lagrange, cioè

$$(M+m)R^2\ddot{\theta} + qER\sin\theta + kR^2\sin\theta\cos\theta = 0$$

L'eq. precedente può essere interpretata come un semplice problema di meccanica 1-D per $\theta \in T$, portando di conservare l'energia totale

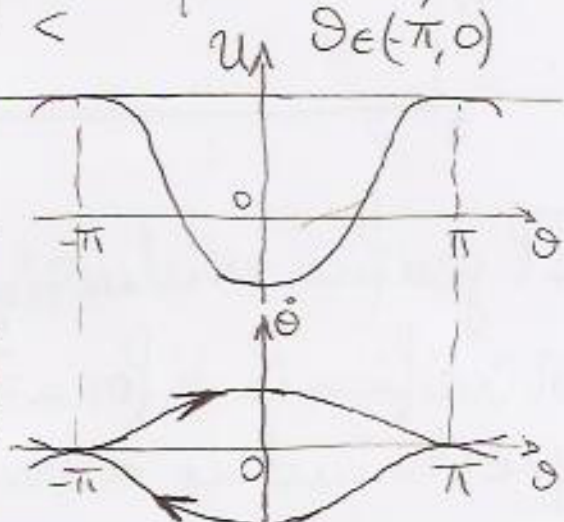
$$E = \frac{1}{2}(M+m)R^2\dot{\theta}^2 + U(\theta), \text{ dove } U(\theta) = -qER\sin\theta + \frac{1}{2}kR^2\sin^2\theta$$

Ovviamente, si ha che

$$\begin{aligned} U(\theta) &= qER\sin\theta + kR^2\sin\theta\cos\theta \\ &= kR^2\sin\theta(1+\cos\theta) \end{aligned}$$

$\theta \in (0, \pi)$
 $\theta = 0, \pi$
 $\theta \in (\pi, 0)$

Qui a destra riportiamo lo studio del grafico del potenziale e il tratto in fase per le sole orbite corrispondenti a $E = U(\pi)$, cioè per il punto massimo (quadratico) del potenziale.



Dal ritratto in fase, si evince immediatamente che le condizioni iniziali che appartengono alle separatrixi possono generare dei punti che escono da $B_{T/2}(\alpha, \pi)$ anche quando tali cond. ini. sono indefinitamente vicine al p.t. o quello stesso p.t. di equilibrio.

In definitiva, lo studio della stabilità dei p.ti di equilibrio può essere riassunto dalle seguenti tabella:

$\frac{\partial E}{\partial R}$	< 1	$= 1$	> 1
$(2, 0)$	ST.	ST.	ST.
(α, π)	INST.	INST.	INST.
$(\alpha, \pm\beta)$	INST.	INST.	?

3a) Si risolvano, il più esplicitamente possibile, le eq. di Lagrange (cioè significa che baddare è appropriato si possono determinare le soluzioni con il metodo delle quadture).

Come abbiamo già osservato al termine della soluzione del p.t. 1, le equazioni di Lagrange sono separatibili, quindi il nostro problema completo si ricorda ce alla soluzione di 2 eq. del metodo ciascuna delle quali è associata

a un problema di meccanica 1-D è quindi entrambe sono interrabili (ovvero la loro soluzione può essere scritta esplicitamente). Infatti, la prima ^{eq. di Lagrange} può essere posta nella forma seguente:

$$\ddot{z} = -\omega^2 z - g, \text{ dove } \omega = \sqrt{\frac{k}{M+m}},$$

~~Così~~ Sappiamo ben noto che l'equazione precedente è quella abituale per (sarebbe meglio dire "archetipica", ma forse è un appellativo troppo "formalista") del'oscillatore armonico pesante, la cui soluzione generale è

$$z(t) = A \cos(\omega t + \varphi) - \frac{g}{\omega^2},$$

dove l'ampiezza A e la fase iniziale φ sono determinati dalle condizioni iniziali, poiché si ha

$$\begin{cases} z_0 = A \cos \varphi - \frac{g}{\omega^2} \\ \dot{z}_0 = -A \omega \sin \varphi \end{cases} \Rightarrow \begin{cases} \sqrt{\left(z_0 + \frac{g}{\omega^2}\right)^2 + \left(\frac{\dot{z}_0}{\omega}\right)^2} = A \\ \text{una volta noto } A \quad \int \cos \varphi = \frac{1}{A} \left(z_0 + \frac{g}{\omega^2}\right) \\ \text{è determinato da} \quad \sin \varphi = -\frac{\dot{z}_0}{A \omega} \end{cases}$$

Come già osservato all'interno della soluzione del punto 2, la seconda equazione di Lagrange, cioè

$$(M+m)R^2\ddot{\theta} + qER\sin\theta + kR^2\sin\theta\cos\theta = 0$$

può essere visto come un problema di meccanica 1-D con forze puramente posizionali; infatti, esse

può essere riscritta come segue:

[pag. 10

$$[(M+m)R^2]\ddot{\theta} = -\frac{dU}{d\theta},$$

dove U è definita come al punto 2, cioè

$$U = -gER \cos\theta + \frac{1}{2}kR^2 \sin^2\theta$$

Ricordiamo, ovviamente, che θ è la variabile dipendente e $t \in \mathbb{T}$.

Dalle eq. precedenti, discende che si conserva l'energia "di rotazione attorno all'asse z", cioè vale la relazione

$$\frac{1}{2}(M+m)R^2\dot{\theta}^2 + U(\theta) = E$$

E' ben noto che l'eq. precedente può essere risolta per quadrature, cioè si scrive

$$\dot{\theta} = \pm \sqrt{\frac{2}{(M+m)R^2}(E-U(\theta))},$$

quindi per separazione di variabili, ottieniamo la seguente relazione differenziale:

$$dt = \pm \frac{d\theta}{\sqrt{\frac{2}{(M+m)R^2}(E-U(\theta))}}$$

Integrando, ambo i membri dell'eq. precedente ottieniamo la soluzione cercata, ovvero

$$t - t_0 = \pm \int_{\theta_0}^{\theta} \frac{d\psi}{\sqrt{\frac{2}{(M+m)R^2}(E-U(\psi))}}, \text{ dove abbiamo}$$

utilizzato le cond. iniz. $\theta(t_0) = \theta_0$, mentre tutte le otd. iniz. (cioè usavano anche $\dot{\theta}(t_0) = \dot{\theta}_0$) ~~non~~ permettono di

calcolare $E = \frac{1}{2}(I+m)R^2\dot{\theta}_o^2 + U(\theta_o)$ | pag. 11

e di determinare il segno in modo che sia in accordo (inizialmente) con quello di $\dot{\theta}_o$. E' ben noto che poi il segno deve essere cambiato in presenza di una barriera di potenziale.

(3b) Si considerino delle condizioni iniziali tali che al tempo $t=0$ il punto P si trova sulla parte negativa dell'asse delle x con velocità puramente orizzontale (cioè con ~~zero~~
componente verticale della velocità uguale a 0).

Sia T il periodo di rotazione attorno all'asse z (cioè il tempo ~~impiegato~~^{che intercorre tra 2 passaggi} necessario perché consecutivi nel semipiano Oxz con x negativo) per il nostro sistema e sia \bar{T} il periodo di rotazione che si avrebbe in assenza della molla e del campo elettrico (cioè ponendo $k=0$ e $E=0$). Si determini quale condizione deve essere soddisfatta dai dati iniziali affinché per un qualsiasi $E > 0$ "piccolo a piacere" avvenga che

$$\bar{T}(1-\varepsilon) \leq T \leq \bar{T}(1+\varepsilon),$$

limitandosi, per semplicità, allo studio del caso con $kR = qE/2$.

Per fissare le idee, è utile riportare il grafico del potenziale e il ritratto in fase relativi al caso $kR = \frac{q\epsilon}{2}$.

pag. 12

Come abbiamo già calcolato all'interno delle soluzioni del p.to 2,

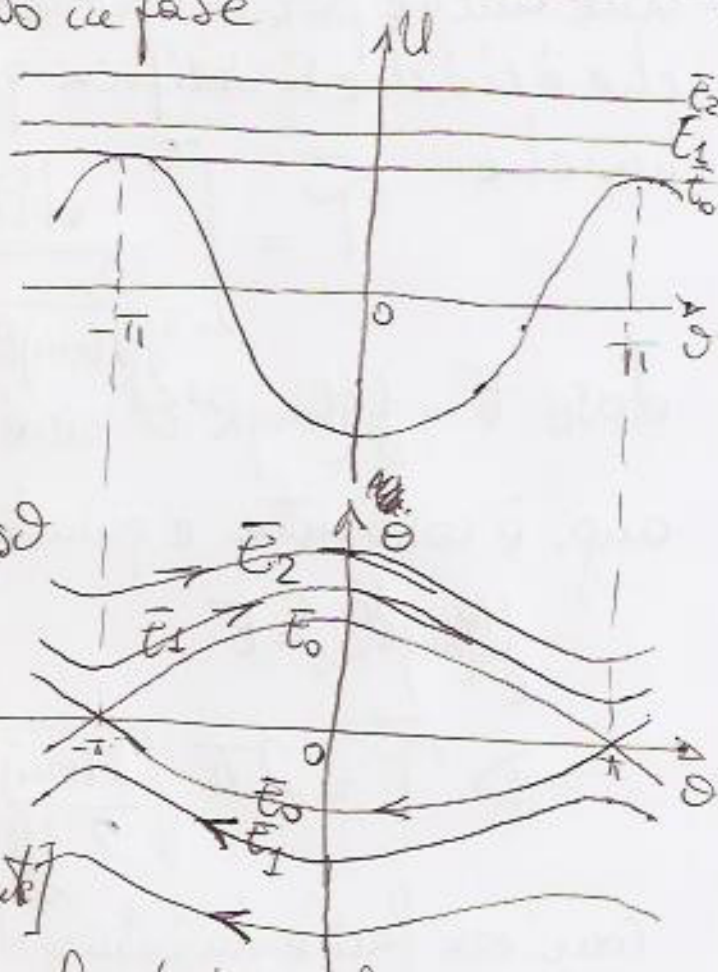
$$U(\theta) = q\epsilon R \sin \theta + kR^2 \sin^2 \theta \\ = q\epsilon R \sin \theta \left(1 + \frac{1}{2} \cos \theta\right)$$

Pertanto, come per il pendolo semplice, U è crescente [decrecente]

in $(0, \pi) [(-\pi, 0)]$. Si noti che, nel ritratto in fase qui sopra, sono state riportate solo le orbite sulla separatrice (corrispondenti a $E_0 = U(\pi)$) e poche alcune esempi di quelle di rotazione, cui siamo interessati. Basta infatti che $\dot{\theta}_0$ sia non nullo e allora $E = \frac{1}{2}(1+u)R^2\dot{\theta}_0^2 + U(\pi) > U(\pi) = E_0$, quindi l'orbita è di rotazione.

Dalla soluzione della 2^a eq. di L - (che è riportata al p.to 3a) si ricava una formula esplicita per il periodo di rotazione:

$$T = \int_{-\pi}^{\pi} \frac{d\theta}{\sqrt{\frac{2}{(M+u)R^2}(E - U(\theta))}}$$



le cond. iniz. t.c.
P è assai con x < 0
equivalente a $\dot{\theta} = \pi$

la stessa formula, con piccoli adattamenti, | pag. 13
 Vale anche per il "rotatore libero", cioè il caso con $U=0$
 che è ciò che si verifica quando $k=0$ e $\mathcal{E}=0$; allora si
 ha che $\bar{T} = \int_{-\pi}^{\pi} \frac{d\theta}{\sqrt{\frac{2}{(M+\mu)R^2} E}} = 2\pi \cdot \sqrt{\frac{(M+\mu)R^2}{2E}}$

dove $E = \frac{1}{2}(M+\mu)R^2\dot{\theta}^2$ cioè, quando $k=0$ e $\mathcal{E}=0$, la sel.
 ang. è costante e quindi, in particolare,

$$\frac{1}{2}(M+\mu)R^2\dot{\theta}_0^2 = E$$

$$\Rightarrow \bar{T} = 2\pi \sqrt{\frac{(M+\mu)R^2}{2 \cdot \frac{1}{2}(M+\mu)R^2\dot{\theta}_0^2}} = \frac{2\pi}{|\dot{\theta}_0|}$$

Cari' era facile da intuire dopo aver osservato che $\dot{\theta}(t) = \dot{\theta}_0 e^{Rt}$
 quando $k=0$ e $\mathcal{E}=0$.

Dobbiamo quindi riuscire a dimostrare che, per opportuni dati iniziali, sussiste la diseguaglianza

$$\frac{2\pi}{|\dot{\theta}_0|} \cdot (1-\varepsilon) \leq \int_{-\pi}^{\pi} \frac{d\theta}{\sqrt{\frac{2}{(M+\mu)R^2}(E-U(\theta))}} \leq \frac{2\pi}{|\dot{\theta}_0|} (1+\varepsilon).$$

dove $E = \frac{1}{2}(M+\mu)R^2\dot{\theta}_0^2 + U(\pi)$. Dal grafico del potenziale è
 evidente che $U(0) \leq U(\theta) \leq U(\pi)$, quindi abbiamo
 che

$$\frac{2\pi}{\sqrt{\frac{2}{(M+\mu)R^2}(E-U(0))}} \leq T = \int_{-\pi}^{\pi} \frac{d\theta}{\sqrt{\frac{2}{(M+\mu)R^2}(E-U(\theta))}} \leq \frac{2\pi}{\sqrt{\frac{2}{(M+\mu)R^2}(E-U(\pi))}}$$

E' conveniente trattare separatamente
le 2 disequazioni. In particolare, la
seconda diventa assai semplice, dopo aver osservato che

$$E - U(\pi) = \frac{1}{2}(M+m)R^2\dot{\theta}_0^2 + U(\pi) - U(\bar{\theta})$$

$$\Rightarrow T = \int_{-\pi}^{\pi} \frac{d\theta}{\sqrt{\frac{2}{(M+m)R^2}(E - U(\theta))}} \leq \frac{2\pi}{\sqrt{\frac{2}{(M+m)R^2} \frac{1}{2}(M+m)R^2\dot{\theta}_0^2}} = \frac{2\pi}{|\dot{\theta}_0|} = \bar{T}.$$

Portanto, se $\dot{\theta}_0 \neq 0$ abbiamo che

$$T \leq \bar{T}$$

e, quindi, a maggior ragione se $\varepsilon > 0$

$$T \leq (1+\varepsilon)\bar{T}$$

Possiamo ora considerare la minorazione del periodo. Cominciamo ad osservare che

$$E - U(0) = \frac{1}{2}(M+m)R^2\dot{\theta}_0^2 + q\varepsilon R - (-q\varepsilon R) = \frac{1}{2}(M+m)R^2\dot{\theta}_0^2 + 2q\varepsilon R$$

Ne segue che

$$T \geq \frac{2\pi}{\sqrt{\frac{2}{(M+m)R^2}\left(\frac{1}{2}(M+m)R^2\dot{\theta}_0^2 + 2q\varepsilon R\right)}} = \frac{2\pi}{|\dot{\theta}_0| \cdot \sqrt{1 + \frac{4q\varepsilon}{(M+m)R^2\dot{\theta}_0^2}}}$$

$$= \bar{T} \cdot \frac{1}{\sqrt{1 + \frac{4q\varepsilon}{(M+m)R^2\dot{\theta}_0^2}}}$$

Dobbiamo quindi dimostrare che $V\epsilon > 0$ pag. 15
 piccolo a piacere, è dei dati iniziali che
 t.c.

$$\frac{1}{\sqrt{1 + \frac{49\epsilon}{(M+m)R\dot{\theta}_0^2}}} \geq 1 - \epsilon$$

L'unico fattore che dipende dai dati iniziali, nella eq.
 precedente, è $\dot{\theta}_0$: è intuitivo che se $|\dot{\theta}_0| \gg 1$, allora
 il membro di sinistra dell'equazione è prossimo a 1.
 Questo ci fa comprendere che dobbiamo trovare delle soluzio-
 ni corrispondenti a rotazioni veloci.

Siccome $\dot{\theta}_0$ sono interessati ad ϵ "piccolo a
 piacere", quindi possiamo assumere che $1 - \epsilon > 0$ e,
 allora, elevando al quadrato la diseg. di inizio pe-
 gno otteniamo

$$\frac{1}{\sqrt{1 + \frac{49\epsilon}{(M+m)R\dot{\theta}_0^2}}} \geq 1 - 2\epsilon + \epsilon^2 \rightarrow \frac{1 + \frac{49\epsilon}{(M+m)R\dot{\theta}_0^2}}{1 - 2\epsilon + \epsilon^2} \leq \frac{1}{1 - 2\epsilon + \epsilon^2}$$

Sempre perché ϵ è piccolo allora conviene utilizzare
 la disegualanza

$$(1 + \epsilon) \leq \frac{1}{1 - 2\epsilon + \epsilon^2} \quad \text{che vale } V\epsilon < \frac{1}{2}$$

In luogo di cercare soluzioni per la diseg.

$$1 + \frac{49\epsilon}{(M+m)R\dot{\theta}_0^2} \leq \frac{1}{1 - 2\epsilon + \epsilon^2}$$

Risolviamo la più restrittiva (e più semplice)

$$1 + \frac{49\epsilon}{(M+m)R\dot{\theta}_0^2} \leq 1 + \epsilon \quad \text{per } 0 < \epsilon < \frac{1}{2}$$

- Inciso -

Dmo della disegualanza

$$1 + \epsilon \leq \frac{1}{1 - 2\epsilon + \epsilon^2}$$

$$\Rightarrow \frac{1 - 2\epsilon + \epsilon^2 + \epsilon - 2\epsilon^2 + \epsilon^3}{1 - 2\epsilon + \epsilon^2} \leq 0$$

$$\Rightarrow \frac{1 - \epsilon - \epsilon^2 + \epsilon^3}{1 - 2\epsilon + \epsilon^2} \leq 0$$

è sicuramente verificata
 $0 \leq \epsilon \leq \frac{1}{2}$ poiché per tutti
 valori $-\epsilon - \epsilon^2 + \epsilon^3 \leq -\epsilon \leq 0$
 e $1 - 2\epsilon + \epsilon^2 > 0$

Ottieniamo quindi che deve essere verificato che pag. 16

$$\dot{\theta}_0^2 \geq \frac{4g\varepsilon}{(M+m)R} \cdot \frac{1}{\varepsilon}$$

ovvero

$$|\dot{\theta}_0| \geq \sqrt{\frac{4g\varepsilon}{(M+m)R}} \cdot \frac{1}{\sqrt{\varepsilon}} \quad \text{dove si intende che } 0 < \varepsilon < 1/2$$

Quest'ultima è la condizione che deve essere verificata da $\dot{\theta}_0$ affinché

$$\bar{T}(1-\varepsilon) \leq T \leq \bar{T}(1+\varepsilon).$$

Il risultato che abbiamo ottenuto, può essere riformulato come segue:

il periodo di rotazione può essere indefinitamente prossimo a quello di rotazione libera (cioè in assenza di potenziale) purché la rotazione sia veloce abbastanza.

Si osservi che $|\dot{\theta}| \geq |\dot{\theta}(\pi)| = |\dot{\theta}_0| = O\left(\frac{1}{\sqrt{\varepsilon}}\right)$.

Questo fatto è ben noto e anche assai intuitivo: per rotazioni molto veloci, la differenza (intorno a valori relativi) tra l'energia totale è percentualmente quasi tutta dovuta all'energia cinetica e quindi, l'effetto dell'energia potenziale è sempre meno rilevante. Di conseguenza, il comportamento è sempre più simile a quello del rotatore libero.